

## АВТОМАТИЗИРОВАННАЯ ОБРАБОТКА ИЗОБРАЖЕНИЙ

УДК 528.85 : 519.2 : 681.5

В. С. КИРИЧУК, Г. И. ПЕРЕТЯГИН, А. И. ПУСТОВСКИХ,  
Н. С. ЯКОВЕНКО

*(Новосибирск)*

### СРАВНИТЕЛЬНЫЙ СТРУКТУРНЫЙ АНАЛИЗ ДВУМЕРНЫХ ПОЛЕЙ И ИЗОБРАЖЕНИЙ

**Введение.** В данной статье предлагается и исследуется методика установления связи между изображениями местности, зарегистрированными в различных спектральных диапазонах. С этой целью в первом разделе будут представлены математические понятия, связанные с «морфологическим» анализом множества двумерных полей и их взаимных преобразований. В основе морфологического анализа лежит понятие пространственной структуры — совокупности однородных областей двумерного поля (например, аэрокосмического снимка), составляющих изображение и характеризующих так называемую «форму» исследуемого природного объекта [1]. Развитие соответствующих математических средств позволяет выявить взаимосвязь между распределениями измеряемых параметров полей и, в частности, найти наилучшую «аппроксимацию» некоторого заданного изображения в базисе остальных изображений местности. Установленная таким образом взаимосвязь может быть применена к анализу дистанционных данных, относящихся к другому региону, с целью «восстановления» структуры соответствующего ему природного объекта.

Во втором разделе описываются алгоритмические средства, реализующие предлагаемую методику восстановления, и приводятся результаты вычислительного эксперимента.

**Структурный анализ двумерных полей.** Будем считать, что имеются измеренные на дискретной решетке характеристики двумерных полей различного содержания —  $\{u_0(x, y), u_1(x, y), \dots, u_k(x, y); (x, y) \in \Omega\}$ , предварительно скорректированные и совмещенные друг с другом путем приведения к единой системе координат. Ставится задача: найти взаимосвязь между функцией  $U_0(\Omega) = \{u_0(x, y); (x, y) \in \Omega\}$  и функциями  $U_1(\Omega), U_2(\Omega), \dots, U_k(\Omega)$ . В общем случае пространственно-инвариантного преобразования можно привлечь методы морфологического анализа [2] и предложить следующее решение задачи.

Предположим, что каждое из «изображений»  $U_1(\Omega), U_2(\Omega), \dots, U_k(\Omega)$  с известной точностью может быть представлено в виде

$$u_j(x, y) = \sum_{i=1}^{m_j} a_{ji} X_{A_{ji}}(x, y), X_{A_{ji}}(x, y) = \begin{cases} 1, & (x, y) \in A_{ji}; \\ 0, & (x, y) \notin A_{ji}, \end{cases} \quad (1)$$

где  $A_{j1}, A_{j2}, \dots, A_{jm_j}$  — непересекающиеся подмножества области  $\Omega$ ,

$A_{ji} \cap A_{jk} = \emptyset, i \neq k, \bigcup_{i=1}^{m_j} A_{ji} = \Omega$ . Пространственная структура двумерной

функции  $U_j(\Omega)$  определяется областями  $\{A_{ji}, i = \overline{1, m_j}\}$ , соответствующими

ми «однородным» участкам двумерного поля, значения «яркости» которых  $\{a_{ii}\}$  при различных  $i$  не равны между собой.

Будем считать, что поля  $U_1(\Omega)$  и  $U_2(\Omega)$  совпадают по форме [2] (изоморфны между собой), если  $U_1(\Omega) = F(U_2(\Omega))$  для некоторой функции  $F$ . Так, если  $F$  выбираются из класса линейных функций —  $F(U) = \alpha U + \beta$ , то совпадающими по форме будут лишь пространственные поля (или изображения), заданные с точностью до параметров «средней яркости»  $\beta$  и «контраста»  $\alpha$ .

Переходя собственно к проблеме аппроксимации поля  $U_0(\Omega)$  двумерными функциями, изоморфными  $U_1(\Omega)$ , рассмотрим оператор  $P_u$  такой, что оценка  $\{u_0(x, y); (x, y) \in \Omega\}$  имеет вид

$$\begin{aligned} \hat{u}_0(x, y) &= P_{u_1} u_0(x, y) = \sum_{i=1}^{m_1} \frac{X_{A_{1i}}(x, y)}{n_{A_{1i}}} \sum_{(x, y) \in A_{1i}} u_0(x, y) = \\ &= \sum_{i=1}^{m_1} \bar{u}_0(A_{1i}) X_{A_{1i}}(x, y). \end{aligned} \quad (2)$$

Здесь  $n_{A_{1i}}$  — число точек подмножества  $A_{1i}$ ,  $\bigcup_{i=1}^{m_1} A_{1i} = \Omega$  и  $X_{A_{1i}}$  — характеристические функции подмножеств  $A_{1i}$ , соответствующих однородным областям на поле  $U_1(\Omega)$ . Если поле  $U(\Omega)$  изоморфно полю  $U_1(\Omega)$ , то оно представимо в виде  $\sum_{i=1}^{m_1} b_{1i} X_{A_{1i}}(x, y)$ , где индикаторы  $\{X_{A_{1i}}(x, y)\}$  образуют так называемый ортогональный базис изображений  $U(\Omega)$ , изоморфных с  $U_1(\Omega)$ . Норма разности  $\sigma_{\Delta u}^2 = \|U - \tilde{U}\|_{\Omega}^2 = [\sum_{(x, y) \in \Omega} (u(x, y) - \tilde{u}(x, y))^2]$  принимает минимальное значение, если  $\tilde{U}(\Omega) = \hat{U}(\Omega) = P_{u_1} U(\Omega)$ , то есть  $b_{1i} = \bar{u}_{A_{1i}}$ . Отсюда формула (2) приобретает простую интерпретацию: чтобы определить соответствие наблюдаемых величин  $u_0(x, y)$  и  $u_1(x, y)$ , необходимо по полю  $U_1(\Omega)$  выделить индикатор  $l$ -го «уровня» переменной  $u_1(x, y)$  и подсчитать среднее значение функции в точках, для которых индикатор  $X_{A_{1l}}(x, y) \neq 0$ . Качество выполненной аппроксимации (амплитудного преобразования) характеризуется нормой разности  $\sigma_{\Delta u}^2 = \|U - \hat{U}\|_{\Omega}^2$ .

Если поле  $U_0(\Omega)$  неизоморфно  $U_1(\Omega)$  (т. е. имеется часть  $U_0(\Omega)$ , не представимая в базисе  $\{X_{A_{1i}}(x, y); (x, y) \in \Omega\}$ ), то для более точной аппроксимации необходимо привлечь  $U_2(\Omega)$ ,  $U_3(\Omega)$  и т. д. до тех пор, пока базис полей  $U_1(\Omega), \dots, U_k(\Omega)$  не станет достаточным для восстановления структуры природного объекта  $U_0(\Omega)$ . Исходя из этого, будем представлять  $U_0(\Omega)$  в виде

$$\hat{u}_0(x, y) = \sum_{j=1}^k \sum_{i=1}^{m_j} \hat{b}_{ji} X_{A_{ji}}(x, y) \quad (3)$$

или, упорядочив нумерацию подмножеств  $\{A_{ji}\}$  некоторым способом,

$$\hat{u}_0(x, y) = \sum_{l=1}^L \hat{b}_l X_{A_l}(x, y), \quad (4)$$

где  $L = \sum_{j=1}^k m_j - k + 1$  (здесь учтено, что  $\bigcup_{i=1}^{m_j} A_{ji} = \Omega$ ,  $j = \overline{1, k}$ ). Запишем последнее выражение в векторно-матричном виде, предполагая, что «половые» переменные  $u(x, y)$  в области наблюдения упорядочены в лексико-графическом порядке (столбец за столбцом) и  $U = (u(1, 1), u(2, 1), \dots, u(n, n))^T$  — вектор с  $N = n^2$  компонентами:

$$U_0 = GB + \Xi, \quad (5)$$

где  $G$  — матрица размером  $N \times L$ , составленная из 0 и 1 (значений

индикаторных функций  $X_{A_l}$  в точках  $(x, y) \in \Omega$ ;  $B$  — вектор оцениваемых коэффициентов, состоящий из  $L$  компонент, а  $\Xi$  — вектор остатков, соответствующий части поля  $U_0(\Omega)$ , неизоморфной  $U_1(\Omega), \dots, U_k(\Omega)$ . Оценка вектора коэффициентов  $B$  по методу наименьших квадратов имеет обычный вид

$$\hat{B} = (G^T G)^{-1} G^T U_0. \quad (6)$$

Знание  $B$  позволяет восстановить изображение местности в заданном спектральном диапазоне по серии «косвенных» измерений  $U'_1(\Omega), U'_2(\Omega), \dots, U'_k(\Omega)$ :

$$\hat{U}' = G' B, G' = G(U'_1, \dots, U'_k). \quad (6')$$

Нужно отметить, что в определенных ситуациях набор изображений  $(U_1(\Omega), \dots, U_k(\Omega))$  может оказаться избыточным, и необходимо выделить достаточное подмножество  $(U_1(\Omega), \dots, U_q(\Omega); q < k)$ . При реализации этой процедуры будем исходить из того, что матрица  $G$  состоит из блоков (матриц), соответствующих аппроксимации изображения  $U_0(\Omega)$  одним из изображений  $U_1(\Omega), \dots, U_k(\Omega)$ :  $G = (G_1; G_2; \dots; G_k)$ . Тогда и вектор  $B$  разбивается на  $k$  частей:  $B = (B_1^T B_2^T \dots B_k^T)^T$ . Предположение, что изображение  $U_k$  не вносит «вклад» в аппроксимацию  $U_0$ , соответствует проверке гипотезы  $H_k : B_k = 0$ . Если для любого  $j B_j \neq 0, j = \overline{1, k}$ , то, очевидно, выборочное пространство  $W_N$  можно представить в виде прямой суммы «пространства оценок»  $W_L$  и «пространства ошибок»  $W_{N-L}$ :  $W_N = W_L \oplus W_{N-L}$ , а операторами проектирования на  $W_L$  и  $W_{N-L}$  являются соответственно  $G(G^T G)^{-1} G^T$  и  $(I - G(G^T G)^{-1} G^T)$ . Для проверки гипотез  $H_k : B_k = 0; H_k$  и  $H_{k-1} : B_k = 0, B_{k-1} = 0; \dots$  введем  $k$  подпространств  $W_k, \dots, W_1$ , попарно ортогональных и порождающих все  $W_L$ :  $W_L = \bigoplus_{i=1}^k W_i$ . Пусть  $C_0 = W_L$  и  $C_r = \left( \bigoplus_{i=h-r+1}^k W_i \right)^\perp$ , так что  $C_h = \emptyset$ . Подпространства  $C_i$  образуют убывающую последовательность подпространств таких, что  $W_L = C_0 \supset C_1 \supset C_2 \supset \dots \supset C_h$  и  $W_L = \bigoplus_{i=0}^{h-1} (C_i \ominus C_{i+1})$ . Обозначая через  $P_i$  проектор на подпространство  $C_i$ , получаем «убывающую» последовательность проекционных операторов  $G(G^T G)^{-1} G^T = P_0 \supset P_1 \supset \dots \supset P_h = 0$ .

Поскольку оператор ортогонального проектирования на подпространство  $(C_i \ominus C_{i+1})$  равен разности  $(P_i - P_{i+1})$ , то разложение  $W_L$  можно описать в терминах проекционных операторов:

$$G(G^T G)^{-1} G^T = \sum_{i=0}^{h-1} (P_i - P_{i+1}). \quad (7)$$

Это дает разложение вектора  $U_0$  на сумму  $k$  взаимно ортогональных векторов:

$$\begin{aligned} U_0 &= G(G^T G)^{-1} G^T U_0 + (I - G(G^T G)^{-1} G^T) U_0 = \\ &= \sum_{i=0}^{h-1} (P_i - P_{i+1}) U_0 + (I - G(G^T G)^{-1} G^T) U_0. \end{aligned} \quad (8)$$

Нетрудно показать, что проекционные операторы

$$P_i = GE_i(E_i G^T G E_i)^{-1} E_i G^T, \quad (9)$$

где матрицы  $E_1, E_2, \dots$  получаются из единичной матрицы «занулением» диагональных элементов, соответствующих номерам элементов векторов  $B_k, B_{k-1}, \dots$  в общем векторе  $B$ . В результате приходим к разложению квадратичной формы, на котором основывается проверка гипотезы

тез (теорема Кокрана [3]):

$$\begin{aligned} U_0^T U_0 &= U_0^T G E_{k-1} (E_{k-1} G^T G E_{k-1})^{-1} E_{k-1} G^T U_0 + \\ &+ U_0^T [G E_{k-2} (E_{k-2} G^T G E_{k-2})^{-1} E_{k-2} G^T - \\ &- G E_{k-1} (E_{k-1} G^T G E_{k-1})^{-1} E_{k-1} G^T] U_0 + \dots \\ ... + U_0^T [G (G^T G)^{-1} G^T - G E_1 (E_1 G^T G E_1)^{-1} E_1 G^T] U_0 &+ U_0^T (I - G (G^T G)^{-1} G^T) U_0. \end{aligned} \quad (10)$$

Каждая из составляющих квадратичной формы характеризует «вклад» соответствующего изображения в аппроксимацию  $U_0(\Omega)$ . Норма остатка данного приближения  $\sigma_{\Delta u}^2 = U_0^T (I - G (G^T G)^{-1} G^T) U_0 / (N - L)$  определена по центральному закону  $\chi^2$ . Если изображение  $U_k$  «неинформационно», т. е. ничего нового не добавляет к оценке  $U_0$  образами полей  $U_1, \dots, U_{k-1}$ , то установление данного факта сводится к проверке равенства нулю параметра нецентральности:

$$\delta_k^2 = U_0^T (G (G^T G)^{-1} G^T - G E_1 (E_1 G^T G E_1)^{-1} E_1 G^T) U_0 / (N - L).$$

Эта проверка основывается на отношении  $Z_k = \hat{\delta}_k^2 / \hat{\sigma}_{\Delta u}^2$ , имеющем центральное  $F$ -распределение при нулевой гипотезе  $H_k$ :  $B_k = 0$ .

**Алгоритмические средства сравнительного анализа и результаты вычислительного эксперимента.** В соответствии с изложенной методикой восстановления необходимо в исходных полях  $V_j(\Omega)$  выделить индикаторные функции информативных подмножеств  $(A_{ji}, i = 1, m_j)$ , составляющих область  $\Omega$  рассматриваемой серии снимков. Для осуществления этой операции использовалась процедура эквализации гистограмм распределений наблюдаемых переменных  $v_j(x, y)$  с их последующим квантованием. Входное изображение  $V_j(\Omega)$ , преобразованное данной процедурой, представляется в виде

$$U_j(x, y) = \sum_{i=1}^{m_j} \bar{u}_{A_{ji}} X_{A_{ji}}(x, y), \quad (11)$$

что является наилучшей аппроксимацией  $v_j(x, y)$ ,  $(x, y) \in \Omega$  при заданном числе  $m_j$  уровней квантования. Число уровней квантования для каждого из полей  $V_j(\Omega)$  подбирается путем «проб» таким образом, чтобы нормы разностей между базисными изображениями и их аппроксимациями  $\sigma_{\Delta u_j}^2 = \|V_j - U_j\|_\Omega^2$  были примерно одинаковыми. Рассмотренный алгоритм реализован на комплексе обработки изображений на базе ЭВМ ЕС-1010 [4]. Вычислительная мощность базовой ЭВМ ограничивает размерность матрицы  $G^T G$  до  $80 \times 80$ .

Для апробации разработанных программных средств проводился сравнительный структурный анализ цветного снимка, оцифрованного на устройстве ввода «Colormation» с использованием серого  $-W-$  и  $R-, G-, B-$ фильтров. Размер изображений  $256 \times 256$  элементов с 256 уровнями квантования. Изображения, полученные с  $R-, G-, B-$ фильтрами, выбрались в качестве базисных, по которым проводилось восстановление поля плотностей, соответствующего серому фильтру (рис. 1). Проведенный анализ показал, что наибольшим сходством с восстанавливаемым  $W$ -полем обладает  $R$ -изображение. Его изоморфный образ, в определенном смысле «наиболее похожий» на оригинал ( $W$ -поле), имеет коэффициент корреляции с ним, равный 0,969. Норма разности данного приближения  $\sigma_{\Delta u_1}^2 = 65$ , что составляет 6% от общих вариаций  $W$ -поля ( $\sigma_{u_W}^2 = 1056,2$ ). На рис. 2 представлено изображение «поля расхождений» между оригиналом и его оценкой. Дальнейшее приближение к структуре  $W$ -поля последовательным включением  $G$ - и  $B$ -изображений позволило выяснить, что для восстановления достаточно  $R-, G$ -полей. Их совместная оценка образа имеет коэффициент корреляции с оригиналом  $\rho_{RG} = 0,991$ , а  $\sigma_{\Delta u_2}^2 = 19$  (1,9% вариаций  $W$ -поля). В то же время добав-



Рис. 1

ление к ним  $B$ -изображения лишь ухудшает оценку из-за того, что сильная корреляция тройки базисных полей приводит к плохой обусловленности матрицы  $G^*G$  ( $\rho_{RGB} = 0,988$ ;  $\sigma_{\Delta U_3}^2 = 27$ ). Дисперсионный анализ показал, что включение  $B$ -изображения в оценку  $W$ -поля нецелесообразно. Действительно, составляющая квадратичной формы (10), со-

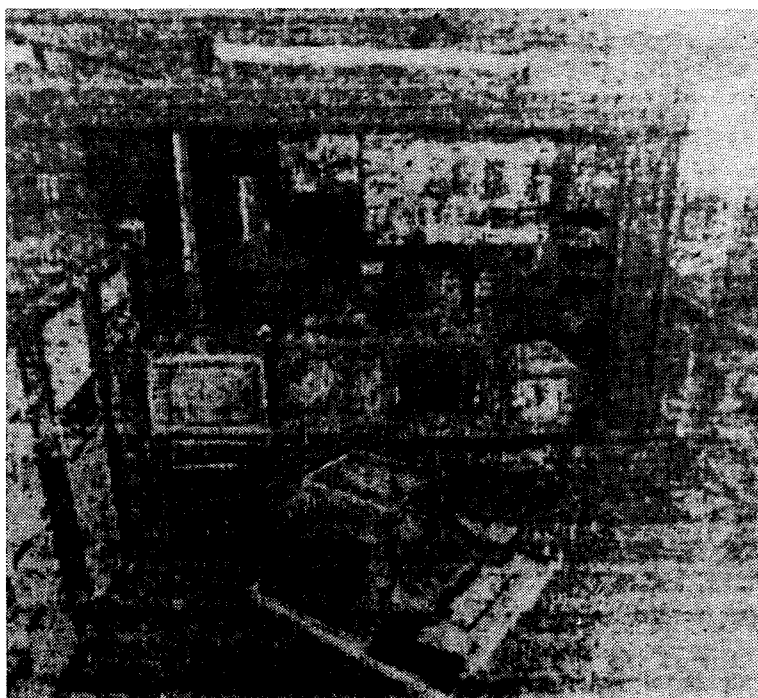


Рис. 2

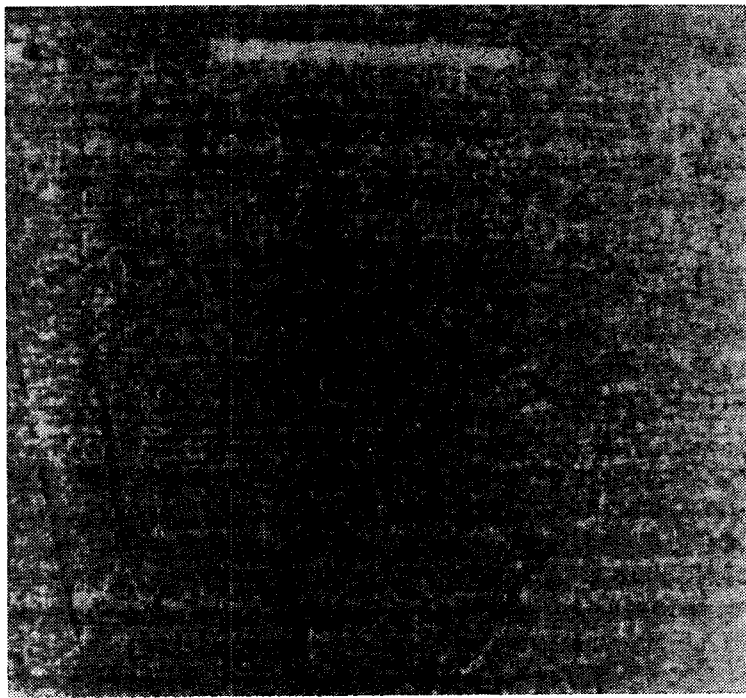


Рис. 3

ответствующая «вкладу»  $G$ -изображения в оценку  $W$ - поля, равна  $\sigma_G^2 = \|\hat{U}_{RG} - \hat{U}_R\|^2 = 44$ , в то время как вклад  $B$ -изображения оценивается величиной  $\sigma_B^2 = \|\hat{U}_{RGB} - \hat{U}_{RG}\|^2 = 25$ , что при норме остатка данного приближения  $\sigma_{\Delta U_3}^2 = \|U_W - \hat{U}_{RGB}\|^2 = 27$  свидетельствует о незначимости  $\sigma_B^2 / \sigma_{\Delta U_3}^2 < 1$ . На рис. 3 дано поле разностей между  $W$ -полем и его  $R$ -,  $G$ -оценкой. Можно заметить, что белая полоса не вкладывается в восстанавливаемый образ  $W$ -изображения по  $R$ -,  $G$ -,  $B$ -копиям сцены.

#### ЛИТЕРАТУРА

- Пытьев Ю. П. Морфологические понятия в задачах анализа изображений.— Докл. АН СССР, 1975, т. 224, № 6.
- Пытьев Ю. П. Задачи морфологического анализа изображений.— В кн.: Математические методы исследования природных ресурсов Земли из космоса. М.: Наука, 1984.
- Шеффе Г. Дисперсионный анализ.— М.: Наука, 1980.
- Киричук В. С., Косых В. П., Нестерихин Ю. Е., Яковенко Н. С. Методы и средства оперативной цифровой обработки изображений.— Автометрия, 1984, № 4.

Поступила в редакцию 13 февраля 1986 г.

УДК 519.713 : 007.5 : 681.5

В. С. КИРИЧУК, Г. И. ПЕРЕТИЯГИН  
(Новосибирск)

#### ОБ УСТАНОВЛЕНИИ СХОДСТВА ФРАГМЕНТОВ С ЭТАЛОННОМ

**Введение.** В практике обработки изображений хорошо известна задача «поиска по образцу». Формально ее можно рассматривать как процесс отождествления эталонного изображения (образа) с одним из множества предъявленных (независимых) фрагментов. В данной статье поставленная проблема характеризуется с точки зрения симметричных байесовских решающих правил и находится оптимальный в известном